

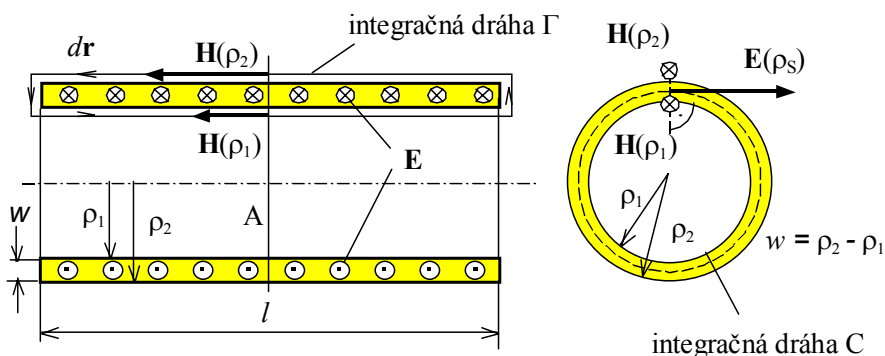
TIENENIE V ELEKTROMAGNETICKOM POLI

Úloha

1. Duté tieniace valce sú zhotovené z materiálu so špecifickou vodivosťou σ . Vypočítajte frekvenciu (f_c) pri ktorej nadobudne činiteľ tienenia v axiálnom usporiadaní hodnotu $k_t = \sqrt{2}$.
2. Pri každom z valcov stanovte experimentálne aj teoreticky hodnotu k_t pri frekvenciách $\frac{f}{f_c} = \frac{1}{5}, \frac{1}{2}, 1, 2, 5, 10$, to isté urobte pri frekvencii $f = 10$ kHz.
3. Pri frekvencii $f = 10$ kHz porovnajte experimentálne výsledky (odmerané na troch rozličných valcoch) s teoretickou závislosťou činiteľa tienenia k_t na faktore $w/9^2$.

Analýza úlohy

Budeme vyhodnocovať tieniaci účinok tenkostenných valcov zhotovených z vodivého, nemagnetického materiálu. Vnútrojný resp. vonkajší polomer valcov je ρ_1 , resp. ρ_2 , (hrúbka $w = \rho_2 - \rho_1$). Zdrojom elektromagnetického poľa bude harmonickým prúdom napájaná solenoidálna cievka, ktorá je len o niečo väčšia ako do jej vnútra axiálne zasunutý valec. Čím väčšia je dĺžka l valca v porovnaní s jeho priemerom $2\rho_2$ resp. $2\rho_1$, tým viac sa elektromagnetické pole v rovine kolmej na os valca preložené v polovici jeho dĺžky (rovina A na obr.1) blíži k prípadu nekonečne dlhého usporiadania. Ak dĺžka vlny λ , ktorá prislúcha danej frekvencii vo voľnom priestore je oveľa väčšia ako polomer valca, môžeme elektromagnetické pole v ľubovľnom mieste považovať za určené okamžitou hodnotou prúdu $i(t)$ v budiacej cievke (takéto pole nemá charakter šíriacich sa elektromagnetických vln). Pri nekonečne dlhom valci a nekonečne dlhej budiacej cievke mal by vektor intenzity magnetického poľa $\mathbf{H} = H_z \mathbf{u}_z$ všade presne axiálny (osový) smer \mathbf{u}_z , a pri $\rho < \rho_1$ by bola jeho veľkosť konštantná (t.j. nezávislá od súradnice ρ). Aj v takomto prípade by sa však v stene valca ($\rho_1 < \rho < \rho_2$) intenzita so zmenou súradnice ρ menila. Vektor intenzity elektrického poľa $\mathbf{E} = E_\phi \mathbf{u}_\phi$ by v diskutovanom prípade bol orientovaný azimutálne (\mathbf{u}_ϕ), to znamená tangenciálne k ľubovolnej kružnici ktorá leží v rovine kolmej na os valca a má stred na tejto osi. Nakoniec pripomeňme, že tangenciálne zložky E_t a H_t vektorov intenzity \mathbf{E} a \mathbf{H} prechádzajú cez rozhranie spojit.

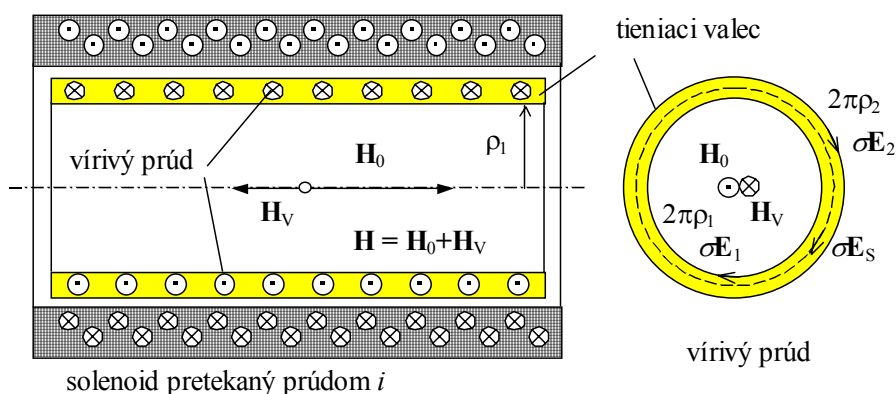


Obr.1 Dutý, vodivý valec s axiálnou magnetickou a azimutálnou elektrickou zložkou elektromagnetického poľa.

Podľa prvej z Maxwellových rovníc: $\text{rot}\mathbf{H} = \sigma\mathbf{E} + \varepsilon_0 \frac{d\mathbf{E}}{dt}$ v objeme valca (dobrý vodič, $\sigma \approx 10^7 \text{S/m}$, $\varepsilon_0 = 8.854 \times 10^{-12} \text{F/m}$, $\mu_0 = 4\pi \times 10^{-7} \text{H/m}$,) bude až do extrémne vysokých frekvencií $\sigma\mathbf{E} \gg \varepsilon_0 \frac{d\mathbf{E}}{dt}$, keďže $\sigma \gg \omega\varepsilon_0$. Preto môžeme použiť zjednodušenú rovnicu: $\text{rot}\mathbf{H} = \sigma\mathbf{E}$. Druhá Maxwellova rovnica ostane pri tomto (tzv. Kvázistacionárnom) priblížení nezmenená: $\text{rot}\mathbf{E} = -\mu_0 \frac{d\mathbf{H}}{dt}$. Aplikovaním integrálnej formy prvej z rovníc (zákon prietoku: $\oint_{\Gamma} \mathbf{H} \cdot d\mathbf{r} = i$) po dráhe Γ , na obr.1, obchádzanej v smere proti pohybu hodinových ručičiek, dostávame v komplexnej reprezentácii: $[H(\rho_2) - H(\rho_1)]l \approx \sigma E(\rho_1)wl$, kde $w = \rho_2 - \rho_1$. Pri približnom výpočte fázora prúdu J sme použili hodnotu prúdovej hustoty $J_1 = \sigma E(\rho_1)$ na vnútornom plomere. Vírivý prúd je v objeme vodivého valca orientovaný azimutálne (v smere vektora \mathbf{E}) a jeho hustota sa v závislosti na polomere (ρ) mení. Pri dostatočne malej hrúbke w ju môžeme však považovať takmer za konštantnú. Z druhej Maxwellovej rovnice, po integrácii (Faradayov zákon: $\oint_C \mathbf{E} \cdot d\mathbf{r} = -\frac{d\Psi}{dt}$) po kruhovej dráhe s polomerom ρ_1 (kružnica C, na obr.1, obchádzaná v smere pohybu hodinových ručičiek) bude v komplexnej reprezentácii: $2\pi\rho_1 E(\rho_1) = j\omega\mu\pi\rho_1^2 H(\rho_1)$, keďže pri $\rho < \rho_1$ je intenzita H konštantná. Z tu uvedených rovníc vypočítame vzťah medzi fázormi intenzity magnetického poľa na vonkajšej a vnútornej strane valca $H(\rho_2) \cong H(\rho_1) \left(1 + j \frac{w\rho_1}{g^2}\right)$, kde $g = \sqrt{\frac{2}{\omega\mu_0\sigma}}$ je charakteristický parameter – tzv. hĺbka vniku (elektromagnetického vlnenia). K magnetickému poľu vo vnútornom priestore dutého valca ($\rho < \rho_1$) prispieva okrem prúdu $i(t)$ v solenoidálnej cievke (pole \mathbf{H}_0) aj vírivý prúd tečúci stenou valca (pole \mathbf{H}_V). Obe polia sú navzájom opačne orientované. V priestore okolo dutého valca ($\rho > \rho_2$) prispieva k tvorbe poľa len prúd tečúci solenoidom $i(t)$.

Účinok tienenia možno vyhodnotiť ako podiel intenzity $H_0(\rho_1)$ poľa vo vnútornom priestore (na polomere ρ_1) bez prítomnosti tieniaceho valca - k intenzite $H(\rho_1)$ v tom istom mieste za prítomnosti tieniaceho valca. Bez valca je pole v objeme solenoidu približne homogéne: $H_0(\rho_1) \approx H_0(\rho_2)$. Intenzita poľa na výstupe zdroja-žiariča (tu solenoidálna cievka napájaná prúdom $i(t)$), musí byť v oboch prípadoch rovnaká $H_0(\rho_2) = H(\rho_2)$. Pri dodržaní tejto podmienky je tieniaci činiteľ daný absolútnou hodnotou výrazu

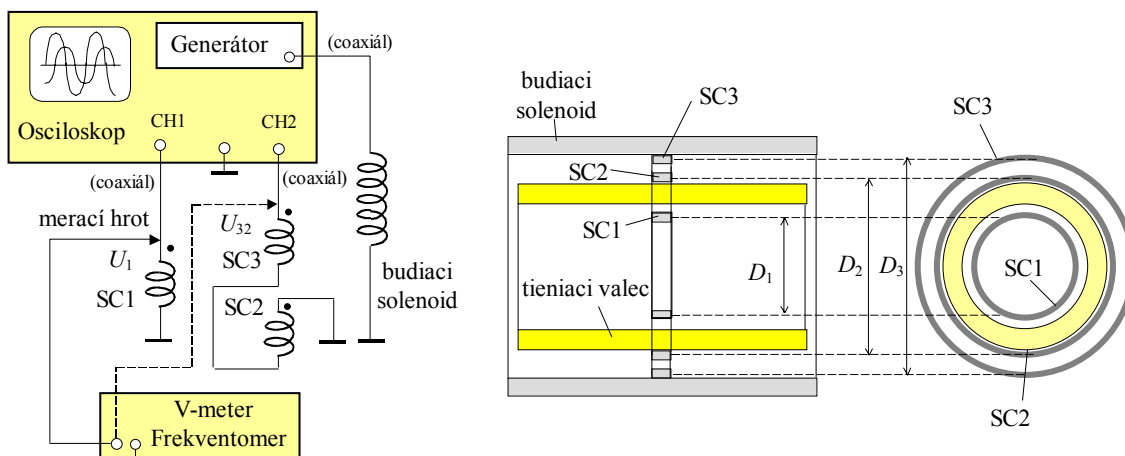
$$k_t = \frac{H_0(\rho_1)}{H(\rho_1)} = \frac{H_0(\rho_2)}{H(\rho_1)} = \frac{H(\rho_2)}{H(\rho_1)} = \left| \frac{H(\rho_2)}{H(\rho_1)} \right| = \sqrt{1 + \left(\frac{w\rho_1}{g^2}\right)^2}.$$



Obr.2 Tieniacy efekt - dôsledok vírivých prúdov

Postup pri meraní

Z požadovanej rovnosti $k_t = \sqrt{2}$, vyplýva $w\rho_1 = \vartheta^2$. Z výrazu pre hĺbku vniku ϑ , pri známej vodivosti σ , stanovíme hodnotu $f_c = 1/(\mu_0\sigma\pi w\rho_1)$ pre každý z troch tieniacich valcov. Vonkajšie elektromagnetické pole, ktorého pole \mathbf{H} má vzhľadom na valec axiálny smer, vytvoríme budiacim solenoidom napájaným striedavým prúdom $i(t)$, podľa obr. 3. Tieniaci efekt vyhodnotíme na základe merania takto. Okrem snímačej cievky (SC1) - vo vnútornom priestore zostavy, použijeme ďalšie dve cievky (SC2, SC3) umiestnené na vonkajšej strane tieniaceho valca, tesne pod vinutím solenoidu, obr.3. Ak tieto cievky zapojíme do série a proti sebe (koniec SC3 je spojený s koncom SC2) odčíta sa magnetický tok cievky SC2 od toku cievky SC3. Viazaný bude len tok vymedzený medzikružím daným strednými priermi D_3, D_2 cievok SC3 a SC2 a aktívna plocha (anti-sériovo zapojených cievok) $S_{32} = \frac{\pi}{2}(D_3^2 - D_2^2)$. Amplitúda U_{2m} , napätia ktoré snímajú, bude priamoúmerná amplitúde intenzity magnetického poľa H_{2m} na vonkajšej strane tieniaceho valca. Cievka SC1, so stredným priemerom D_1 a aktívnou plochou $S_1 = \frac{\pi}{2}D_1^2$, sníma tok vo vnútri tieniaceho valca. Amplitúda U_{1m} napätia indukovaného v tejto cievke je priamoúmerná amplitúde intenzity H_{1m} na vnútornej strane valca., Z odmeraných efektívnych hodnôt napätia U_{32} (na anti-sériovo spojených cievkach SC3, SC2) a U_1 (na cievke SC1) určíme koeficient tienenia podľa vzťahu: $k_t = \frac{H_{2m}}{H_{1m}} = \frac{U_{32}N_1D_1^2}{U_1(N_3D_3^2 - N_2D_2^2)}$, kde N_1, N_2, N_3 sú počty závitov jednotlivých cievok.



Obr. 3 Schéma zapojenia

Tieniaci efekt by sme mohli vyhodnotiť aj z napätia indukovaného len v samotnej cievke SC1 - umiestnenej vo vnútornom priestore experimentálnej zostavy. V takomto prípade by však potrebné merať raz pri zasunutom valci raz bez neho. Pretože solenoid nie je napájaný z ideálneho zdroja, prúd by sa zmenil pri zmene frekvencie, zasunutí či vybratí tieniaceho valca. Po každej zmene v meracej zostave by preto bolo potrebné (úpravou výstupného napätia generátora) dosťaviť amplitúdu I_m resp. efektívnu hodnotu I_{ef} prúdu $i(t)$ na vopred zvolenú konštantnú hodnotu. Ak index "V" zodpovedá napätiu (poľu) vo vnútornom priestore pri zasunutom tieniacom valci a index "0" napätiu (poľu) vo vnútornom priestore bez valca, koeficient tienenia sa určí zo vzťahu: $k_t = \frac{H_{0m}}{H_{Vm}} \Big|_{I=konst} = \frac{U_0}{U_V} \Big|_{I=konst}$. Keď používame na meranie jednu a tú istú cievku, pri vyhodnocovaní tieniaceho účinku (ako pomeru napätí) nezáleží ani na jej aktívnej ploche ani na počte jej závitov.

Prístroje a zariadenie: Preladiteľný generátor harmonického signálu, digitálny multimeter, oscilograf. Budiaci solenoid: $l = 15$ cm, $N = 300$ závitov; cievka SC1: $D_1 = 30$ mm, $N_1 = 66$, závitov; cievka SC2: $D_2 = 47$ mm, $N_2 = 35$ závitov; cievka SC3: $D_3 = 52$ mm, $N_3 = 35$ závitov. Tieniace valce: $\rho_1 = 20$ mm vo všetkých prípadoch. Valec 1: $w = 0.75$ mm, mosadz; valec 2: $w = 0.45$ mm, mosadz; valec 3: $w = 0.1$ mm, bronz. Špecifická vodivosť mosadze $\sigma = 1.33 \cdot 10^7$ S/m, bronzu $\sigma = 1.92 \cdot 10^7$ S/m.

Spracovanie výsledkov

Výsledky merania a výpočtu podľa bodov 1 a 2 uveďte tabelárne. Teoretickú závislosť a experimentálne výsledky podľa bodu 3 vyneste do spoločného grafu, pre frekvenciu použite lineárnu mierku.

Poznámka 1

Napätie indukované v snímačej cievke kruhového prierezu (S) za predpokladu rovnomernosti (homegenity) magnetického poľa $H(t)$ je:

$$u_i(t) = \frac{d\Psi(t)}{dt} = N \frac{d\Phi(t)}{dt} = NS \frac{dB(t)}{dt} = NS\mu_0 \frac{dH(t)}{dt} = NS\mu_0 \omega H(t) = NS\mu_0 2\pi f H(t)$$

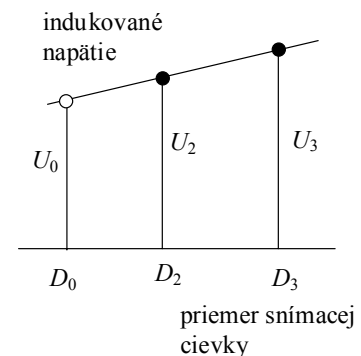
kde N - je počet závitov cievky, ω - je kruhová frekvencia resp. f - je frekvencia harmonického priebehu budiaceho prúdu $i(t)$. Efektívna hodnota napätia meraná V-metrom je potom: $U_{ef} = NS\mu_0 2\pi f H_m / \sqrt{2} = 4.44 \mu_0 NS f H_m$. Pole v priereze cievky SC3 a cievky SC2 nie je homogénne (pole v tieiacom valci je iné ako je pole v jeho dutine) viete zdôvodniť prečo sme mohli napriek tomu použiť tento vzorec aj pri výpočte rozdielu napätia v cievkach SC3 a SC2?

Poznámka 2

Technika dvoch snímacích cievok umožňuje spôsobom naznačeným na obrázku odhadnúť tangenciálnu zložku poľa prakticky na vonkajšom povrchu valca (kde priame meranie nie je možné). Z dvoch známych hodnôt nameraných na rôznych polomeroch (čierne body, D_3, U_3 a D_2, U_2) stanovíme pravdepodobnú hodnotu (biely bod D_0, U_0) lineárnou extrapoláciou - predpokladáme, že všetky tri body ležia na jednej priamke:

$$U_0 = \frac{D_3 U_2 - D_2 U_3 + D_0 (U_3 - U_2)}{D_3 - D_2}. \text{ Symboly } U_1, U_2, U_0 \text{ tu predstavujú}$$

napätie prepočítané na jeden závit cievky. (Prečo?)



Poznámka 3

V závislosti od nastavenej frekvencie na osciloskope pozorujeme fázový posun napätia vnútornej cievky (SC1) voči napätiu vonkajších cievok (SC2, SC3). Porovnajme toto pozorovanie s prípadom keď v zostave nie je zasunutý vodivý valec a pokúste sa podať prijateľné vysvetlenie!

Poznámka 4

Čo sa dá vyvodiť z rozdielu napätia meraného pomocou: (1) cievky SC2 resp. SC3 prípadne s cievkami SC2, SC3 spojenými súhlasne do série (koniec SC2 spojený so začiatkom SC3) a (2) cievky SC1? Ako tieto hodnoty súvisia s (tangenciálnymi) zložkami H_{2m} a H_{1m} na vonkajšej a na vnútornej strane valca? Zdôvodnite! (Uvážte pritom že intenzita poľa H v objeme tieniaceho valca je funkciou súradnice ρ).